

## 自動車 振動·騒音 低減을 為한 防振고무의 應用에 대하여(Ⅱ)

A Study on the Application of Rubber Insulators for Noise and Vibration Control in Mortor Vehicle (II)

金 重熙\*·金 琦世  
J. H. Kim · K. S. Kim

### 4. 高周波 振動·騒音의 制御

앞에서 論議된一般的 絶緣技術은 傳達率의 低減을 為한 努力의 일환으로 使用되어 지며 이에 따라 車輛의 全 可用速度 범위에 걸친 絶緣效果를 얻을 수 있다. 그러나 이러한 絶緣能力만으로 解決 할 수 없는 高周波 騒音 問題가 자주 發生하여 이때문에 局部的 speed 범위에서의 室內騒音을 크게 해치는 경우가 많다.

- 1) 高周波 領域에서의 防振고무 動的 弾性 係數의 增加
- 2) 車體振動과 音響共鳴의 連成
- 3) 振動·騒音 傳播經路 上에서의 位相의 중첩

등에 기인하여 다음과 같은 代表的 制御方法을 使用한다.

#### 4.1 빅터(位相) 制御 方法

自動車 騒音問題中 가장 심각한것이 高速 주행시의 高周波音 (booming noise) 問題이다. 이는 주로 車體振動과 室內 音響共鳴에 기인하기 때문에 매우 큰 騒音을 發生시키고 그 對策 역시 어렵다. Booming noise를 改善하는 方法으로는 우선 車體振動 또는 音響共鳴 모우드에 대한 각각의 制御 또는 相互間의 連成을 제거하는 것이 效果의이며 車體振動 入力點의 임피던스 (impedance) 改善, 振動 絶緣率의 向上 등도 多少의 效果를 줄 수 있다.

그러나 이와 같은 方法外에도 振動·騒音의 빅터 解析에 의한 防振支持 系統의 少幅的 調整으로 큰 效果를 거둘 수 있는 것으로 알려져 있고, 엔진 또는 캡(cap)의 支持系統에 적용이 용이하다. 그림 13에 트럭의 캡 内部에 대한 booming noise 發生經路를 보였다.

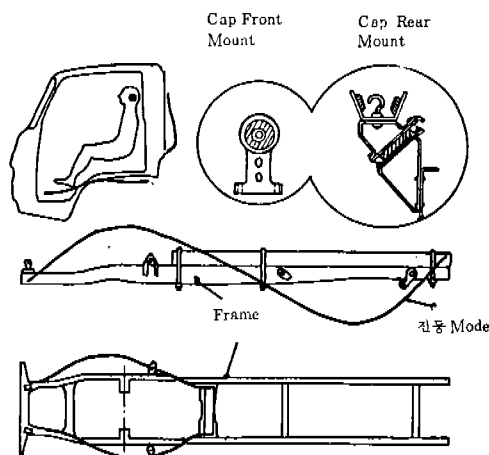


그림 13. CAB의 Booming noise 發生 經路

그림 14에서 보는 바와 같이 두개의 주된 入力點을 가지는 支持系를 고려하여 각각에 대한 3方向의 入力 즉 6개의 入力を 각각  $F_1$ ,  $F_2$ , ...,  $F_6$  라고 하면 임의의 點에서의 振動  $A_k$ 는 그림 15의 빅터 습으로 나타나며 다음의 式(16)으로 表示할 수 있다.

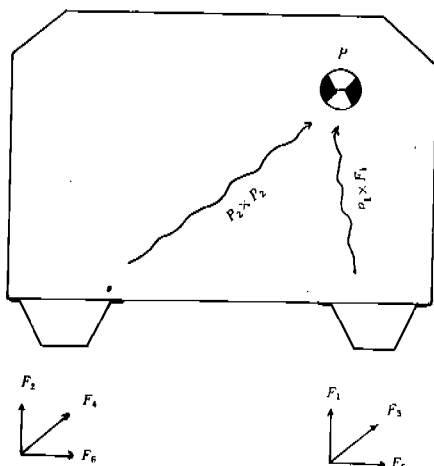


그림 14. vector 解析

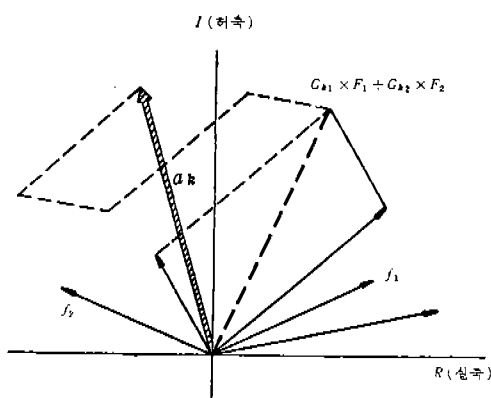


그림 15. Vector 총합

$$A_k = \sum_{j=1}^6 G_{kj} \times F_j \quad \dots \quad (16)$$

여기서

$A_k$  :  $k$  點의 振動應答(實車)

$G_{kj}$  :  $j$  方向 單位入力에 의한  $k$  點의 振動應答(mobility)

$F_j$  :  $j$  方向에 대한 入力(實車)

한편 식(16)을 간략화 하면

$$\{A\} = [G] \cdot \{F\} \quad \dots \quad (17)$$

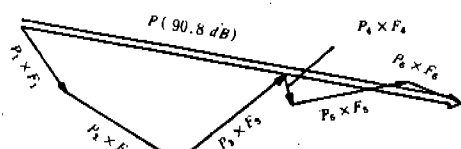
$$\{F\} = [G]^{-1} \{A\}$$

로 表示할 수 있으며 여기서  $[G]$ 는 加振實驗에 의해  $\{A\}$ 는 實車 走行試驗에 의해 구할 수 있는 行列이다. 따라서 식(17)에 의해 入力의 크기 ( $F_1, \dots, F_6$ ) 및 入力相互間의 位相關係가 구해진다. 또 驚音과 振動入力 ( $F_j$ )과의 關係는

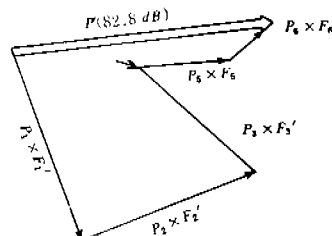
$$P = \sum_{j=1}^6 P_j \times F_j \quad \dots \quad (18)$$

$P_j$  : 音響 感度係數 벡터

로 表示되어 振動에 대한 室內騒音의 關係를 구할 수 있다. 그럼 16-(a)에 이와 같은 벡터解析의 例를 보였으며 모든 音響ベクト들이 서로 상승作用을 하도록 중첩되어 있음을 알 수 있



(a) 初期狀態



(b) 角度 變更後

그림 16. 防振고무 角度變更에 의한 音響 Vector

다. 따라서 各 入力間의 位相을 制御하여 驚音의 合ベクト를 低減시키는 것이 必要하다는 것을 알 수 있는데 고무의 材料特性 變化의 限界性에 의해 고무의 長短 角度 变경은 이와 같은 要求를 잘 만족시켜 준다. 그럼 17에 이와 같은 入力의 최적화에 따른 試驗 結果를 例로 보였고 그림 16-(b)에 防振고무 角度변경에 의한 벡터 線圖를 보였다.

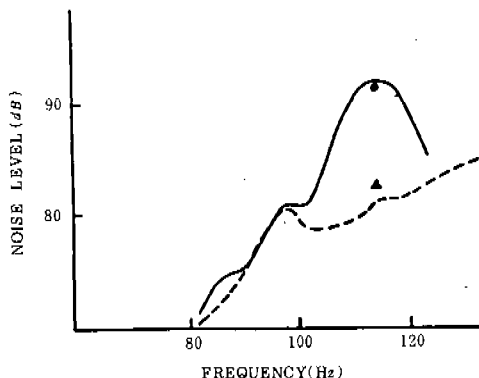


그림 17. 變更效果(運轉席 音)

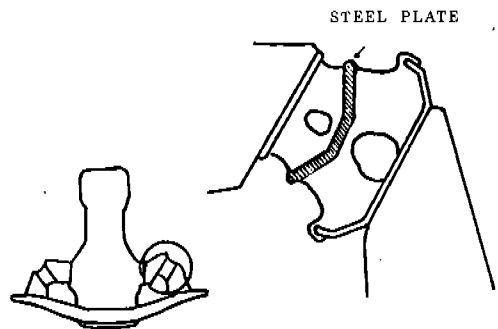


그림 18. 二重 防振고무

#### 4.2 防振고무 二重化(dual insulator)

車輛의 室內騒音을 크게 悪화시키는 要素中 하나는 中·高速 走行時 엔진 회전수의 高調波에 해당되는 높은 周波數 性分이다. 이는 보통 엔진 회전수의 5次~10次 高調波에 해당된다. 이와 같은 高周波 騒音을 發生시키는 振動은 앞에서 論議된 바와 같은 效果의인 防振에 의해 제거될 수 있을 것으로 여겨지나 實際의 경우, 防振고무의 動的彈性係數가 高周波 領域에서 크게 增加하기 때문에 이에 대한 對策이 必要하다.

따라서 高周波 領域에서의 動的彈性係數를 낮출 수 있는 方法이 모색되어야 하며 이를 可能케 하는 代表의인 것을 그림 18에 보였다. 이 方法은 防振고무의 中間部分에 부가적인 質量을 插入하므로써 다음식(19)에서 나타낸 바와 같은 等價彈性係數를 얻기 위함이다.

$$K_e = \frac{K}{-\frac{m}{4K} W^2 + 1} \quad (19)$$

이에 따라 防振고무의 等價彈性係數( $K_e$ )는

$$f \geq \frac{1}{\pi} \sqrt{\frac{2K}{m}} \quad (20)$$

의 범위에서  $K$ 보다 낮아지게 된다. 따라서 부가적인 質量( $m$ )을 적절히 調整하는 경우 目標로 하는 周波數 領域에서의 效果의인 動的彈性係數 制御가 可能하게 된다.

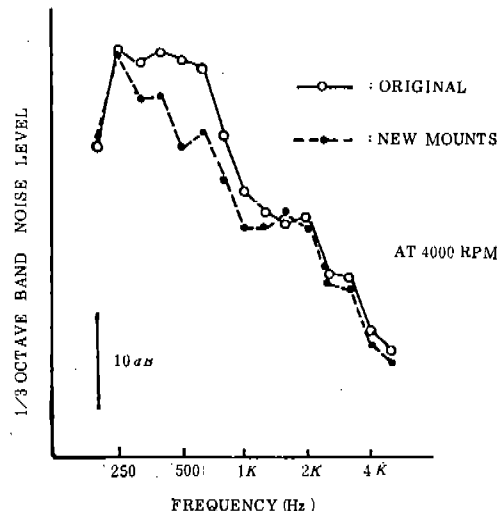


그림 19. 二重 防振고무의 效果

그림 19에서 이와 같은 防振고무의 적용 效果를 보였다. 여기서 보는 바와 같이 400 Hz 以上의 高周波 領域에 대한 현저한 騒音 低減이 얻어졌다.

#### 5. 動吸振器에의 應用

振動絕緣系와는 달리 動吸振器는 問題되는 部位의 特定 周波數 振動을 直接 吸收할 수 있는 能力を 가진 點에서 점점 그 應用의 범위가 넓어지고 있다. 특히 經濟性을 겨냥하는 輕量化의 추세에 따라 各種 회전 部品의 固有振動

數低下는 必然的으로 臨界速度의 下落을 수반한다.

現在까지 動吸振器의 使用이 가장 活潑했던 부분은 엔진이며 주로 크랭크축의 回轉振動 低減을 위해 적용되었다. 이는 車輛의 振動·騒音의 低減側面은勿論 크랭크軸自體의 級로耐久力에 대해서도 큰 역할을 하며 플라이 퀼 또는 各種 驅動 풀리(pulley)에 應用한다. 그림 20에서 驅動ベル트 풀리의 吸振器化에 따른 室內騒音 低減效果를 보였다.

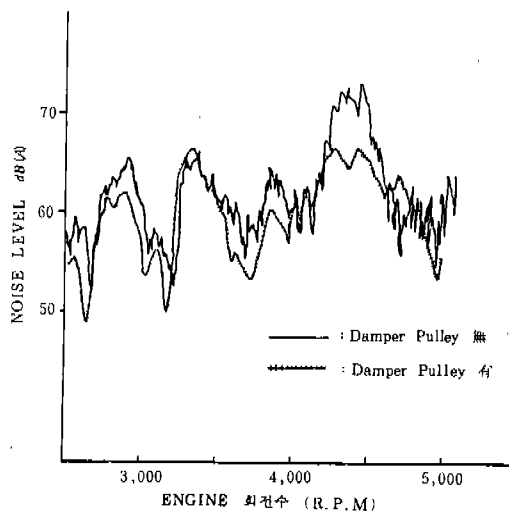


그림 20. 動吸振 Pulley 의 室內騒音 效果

그러나 最近 前輪驅動形 승용차의 一般化와 輕量化 추세는 驅動軸의 直徑을 크게 減少시켰고 이에 따른 軸의 鉛直振動 모우드를 制御하는 것이 불가피하게 되었다. 前輪驅動形 車輛의 驅動軸에 대한 動吸振器의 적용例와 이의 理論的 모델을 그림 21에서 보였다.

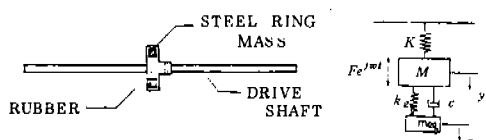


그림 21. 動吸振器 適用例 및 理論的 모델

이 모델로부터 主振動系의 等價 質量과 等價 彈性係數는 각각 다음식(21) (22)와 같으며 이結果를 利用하여 2章의 식(10)에 의한 解析을 한

$$m_{eg} = \frac{m}{2 \sin^2(\frac{n\pi x}{\ell})} \quad \dots \dots \dots (21)$$

$$k_{eg} = \frac{(n\pi)^4 k}{2 \sin^2(\frac{n\pi x}{\ell})} \quad \dots \dots \dots (22)$$

結果가 그림 22와 같다. 이에 따라 最終的으로決定된 吸振器의 諸元을 보면 다음과 같다.

- 1) 重 量 : 0.14 kg
- 2) 彈性係數 : 4.86 kg/mm (100 Hz, ± 0.1 mm)
- 3) 減 衰 比 : 0.136
- 4) 固 有 值 : 94 Hz

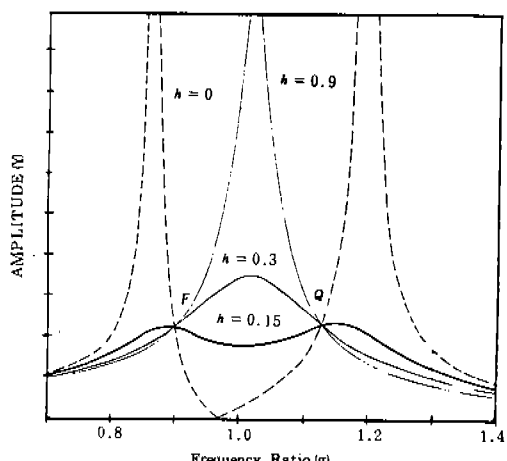
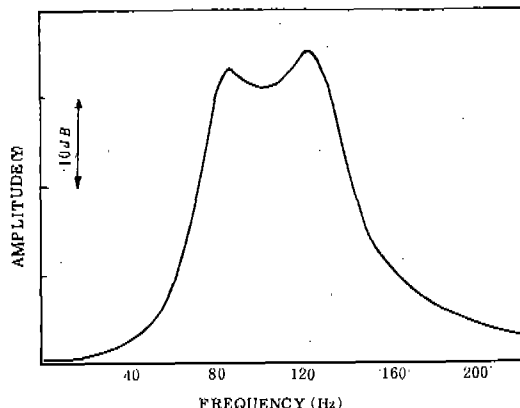


그림 22. 動吸振器 最適化 解析

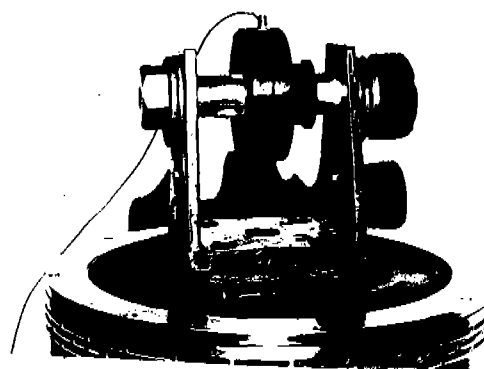
그림 23에서 이들 動的特性 試驗方法과 結果를 보였다. 그림 24는 最適化된 吸振器 장착시의 騒音 低減 效果를 보였다.

## 6. 自動車 防振技術의 新로운 趨勢

防振고무의 적절한 使用은 自動車의 振動·騒音 그리고 乘車感側面에서 좀더 나은 性能을 제공하는데 크게 기여해 왔다. 그러나 自動車



(a) 試験結果



(b) 試験方法

그림 23. 動吸振器 動特性試験

에서 發生되는 動力學的 問題들은 상당히複合의 性格을 지니고 있을뿐 아니라 運行되는 道路 與 件역시 多樣하기 때문에 이러한 要件를 綜合的으로 만족시키기 위한 努力이 계속되고 있다.

이와같은 努力은 주로 防振支持의 가장 basic 的 要求條件를 어느 경우에나 총족시킬 수 있도록 하기위한 새로운 장치의 研究側面에서 수행되어 왔으며 다음과 같은 諸性能을 目標로 하고 있다.

- 1) 엔진 低速 回轉時 振動絕緣 極大化를 위한 彈性係數 低下
- 2) 高周波 振動 絶緣을 위한 減衰係數 低下
- 3) 大變位 振動入力 制御를 위한 彈性係數

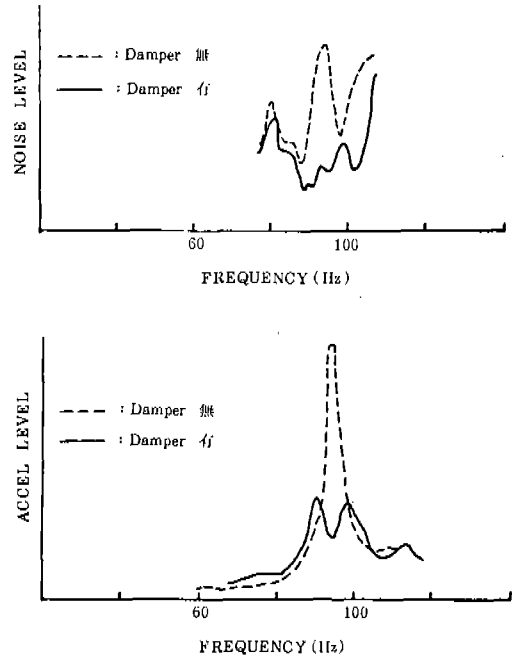


그림 24. 駆動軸 動吸振器 附着 效果

#### 減衰係數의 增大

한편, 以上의 要件들은 그 特性上 서로 크게 대치되는 점이 많기 때문에 고무의 非線形 特性만으로 解決하는 것이 不可能하다고 流體式 減衰器를 集積시키거나 부가적으로 電子式 制御 장치를 使用하므로써 解決하고 있다. 여기서는 現在까지 發表된 몇가지 新製品의 特性과 效果에 대해 알아본다.

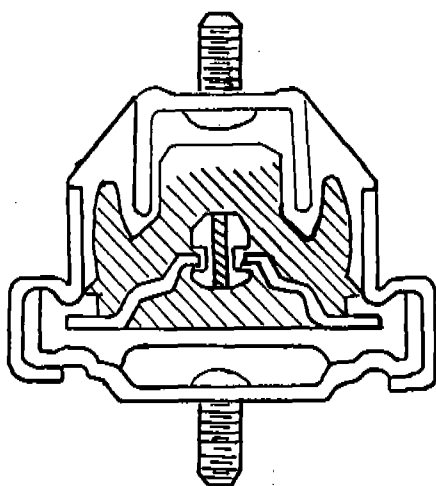
#### 6.1 流體減衰器 集積式 (hydraulic mounts)

微小 變位 振動에 대한 絶緣과 大變位 入力에 대한 완충이란 대치되는 要求條件은 완벽한 防振支持를 위한 가장 어려운 問題이며 이와같은 問題를 解決하기 위해서 流體減衰器 集積式 防振고무의 實用化가 研究되어 많은 成果를 얻고 있다.

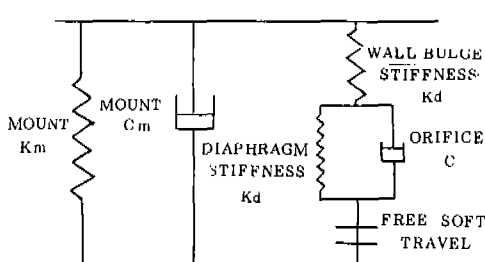
振動 絶緣의 極大化를 위한 彈性係數의 低下는 必然的으로 大變位 入力에 대한 충격을 유발하기 때문에 처음에는 이를 극복하기 위해 부가적인 減衰器를 부착하는 方法을 使用하였

다. 그러나 이 결과 微小變位 振動時 減衰係數의 同時 增加가 유발되어 絶緣效果의 현저한低下가 불가피하다. 따라서 이를 解決하기 위해 減衰器 쪽에 기계적인 유격을 주는 것이 必要하게 되었다.

부가적인 減衰器를 使用한 경우 어느 程度의 特性을 얻을수는 있으나 여려 側面에서 不利한 點이 많기 때문에 이의 集積化가 시도되었으며 종전의 防振고무 크기와 유사한 程度로서도 充分한 性能을 產生하는데 成功하고 있다. 그림 25에서는 現在 開發 使用되고 있는 代表的 製品의 形象과 理論的 모델을 보였다.



(a) 斷面圖



(b) 理論的모델

그림 25. 流體 減衰器 集積型 防振고무

그림 26, 27에서 보는바와 같이 이 防振고무의 動的彈性係數는 低周波 領域에서 크게 나타나지만 周波數의 增加와 함께 계속적으로 減少되어 高周波 領域에서는 靜的彈性係數와 거의同一한 낮은 값이 된다. 減衰特性의 側面에서도 大變位 低周波 領域에서 현저한 增加樣相을 보인다.

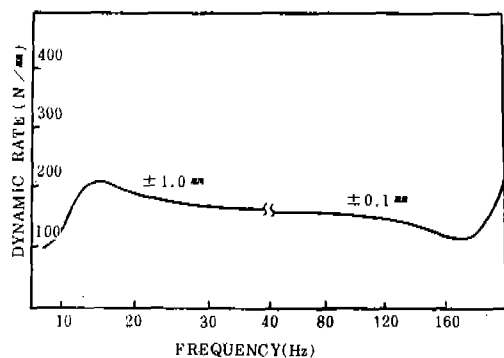


그림 26. 集積型 防振고무의 動彈性係數 周波數 特性

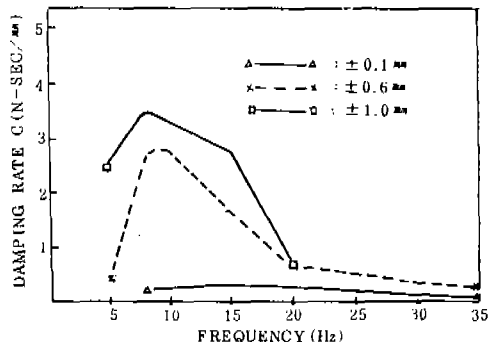


그림 27. 集積型 防振고무의 減衰係數 特性

따라서 이를 結果는 앞에서 言及된 防振고무의 대치되는 要求條件을 잘 만족시키게 되며 이에 따라 驚音·振動은勿論 乘車感 側面에서도 현저한 性能 向上을 얻고 있는 것으로 보고되고 있다. 室內騒音 및 振動의 效果는 주로 엔진의 頻率와一致하는 周波數 帶域에서 全速度 범위에서 얻어지며 乘車感 側面의 效果

는 주로 엔진 支持系의 共振周波數 領域인 10 ~ 20 Hz 부근에서 나타난다.

## 6.2 電子制御式 防振고무

1980 年代의 自動車 製品技術 側面에서 的 가 장 두드러진 進歩는 電子장치의 광범위한 適用 이다. 自動車에 대한 電子制御 장치의 適用은 公害問題와 燃費 그리고 一般的 走行性能의 向上을 겨냥하여 出發하고 나아가 運轉者 및 乘客의 편의성을 向上시키기 위한 方向으로 發展하고 있으나 最近 이에 놓지않게 振動·騒音 및 乘車感改善를 위한 防振支持系統의 最適制御 側面에서도 주목을 받고 있다.

電子制御式 장치가 追求하고 있는 動的 特性은 앞에서 提示된 것들과 同一하다. 다만 이 장치의 경우 좀더 能動的인 特性 制御가 可能하다. 즉 그림 28에서 보인 바와 같이 車輛의 各種 運轉 狀態에 관한 情報는 制御 유니트 (control unit)에서 綜合되어 減衰器 技能을 制御托록 되어있다.

따라서 단순한 流體減衰器 集積式의 경우 最終的으로 나타나는 振動에 따라 그 動的 特性

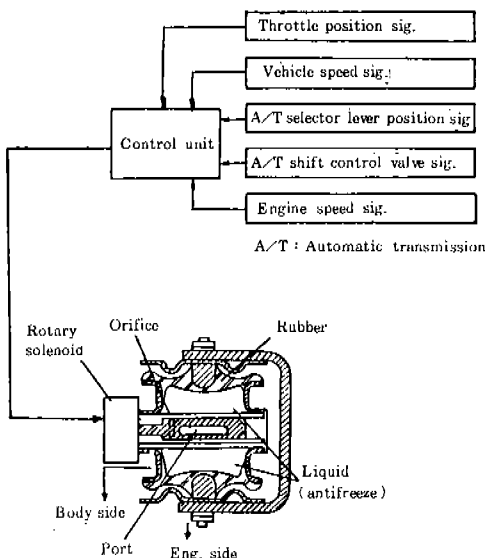


그림 28. 電子制御式 防振고무 原理圖

이決定되는데 反해 電子制御式의 경우 非正常 振動을 發生시키는 走行條件의 形成에 의해 그 動的 特性이 制御된다. 그림에서 보는 바와 같 이 이 장치의 動力學的 側面의 構成 원리는 流體減衰器 集積形과 同一하다.

車輛이 正常的 運行條件인 경우 두개의 流體室을 막고있는 窓(port)은 열린 狀態가 되고 内部에 減衰器가 形成되지 않아 낮은 弹性 및 減衰係數를 갖게 된다. 한편 車輛의 運轉條件가 表 3에 나타난 것과 같이 變化하면 回轉式 솔레노이드(rotary solenoid)에 의해 窓(port)이 닫히고 流體의 移動은 적은 구멍(orifice)으로 制限되어 内部에 減衰器를 形成시킨다. 이에 따라 큰 減衰力과 높은 弹性係數를 同時に 얻을 수 있다.

이와 같은 電子制御式 防振고무의 적용은 正常 運行時 낮은 弹性係數와 減衰係數에 의해 우수한 振動絕緣 ability를 얻을 수 있고, 加·減速時 또는 變速時 등의 경우 높은 減衰力과 弹性係數로 충격입력과 大變位 振動을 同時 制御하는데 效果의이다.

自動車에 대한 電子장치의 광범위한 적용 趨勢는 높이 評價되고 있으나 신뢰성, 經濟性의 側面에서 아직도 많은 發展의 여지를 안고 있다.

表3. 電子制御裝置 作動條件(미쓰비시 適用例)

項 目	內部 減衰器 形成 條件
加速踏板作動速度	加速時 : 0.15 m/sec 초과 減速時 : 0.30 m/sec 초과
變速기 어레버 위치	다음 條件으로 變更時 $P \leftrightarrow R \leftrightarrow N \leftrightarrow D \leftrightarrow 2$
自動變速機 變速時 *	다음 條件으로 變速時 $1 \leftrightarrow 2 \leftrightarrow 3 \leftrightarrow 4$

\* 엔진 回轉數 1500 rpm 以上, 스포틀 20 % 以上 열릴시

## 7. 맷음말

여기서는 自動車의 居住環境中 重要한 要素의 하나인 振動·騒音에 關한 低減 對策으로서의 防振고무의 應用에 對하여 그동안 研究 發

展된 理論的 根據와 經驗的 要素를 綜合的으로 考察하였다.

그러나 防振支持의 완벽한 實現은 비단 動力學的 側面뿐만 아니라 耐久力 등 다른 많은 要素와 複合的으로 연계되어 있기 때문에 材料側面에서의 技術進步가 步調를 함께 하여야 하며, 生產技術 및 品質管理의 研究 역시 必須的 要件이다.

輸出立國을 위한 自動車 製品 技術의 전반적인 進歩에 발맞추어 防振고무 製品 및 應用分野에 對한 보다 깊은 研究 發展이 있기를 기대한다.

### 參 考 文 獻

1. M. Bernuchon, "A New Generation of Engine Mounts", SAE Paper 840259, 1984.
2. M. Mizuguchi, "Chassis Electronic Control Systems for the Mitsubishi 1984 Galant", SAE Paper 840258, 1984.
3. R.A. Muzechuk, "Hydraulic Mounts - Improved Engine Isolation", SAE Paper 840410, 1984.
4. 小山清, "고무의 動特性에 대하여," 自動車 技術, Vol 23, No 8, 1969.
5. 戸原, "防振고무," 日本鐵道車輛工業會
6. 宮田公司, "Truck 의 高速 Booming Noise에 대하여," 自動車 技術, Vol 33, No 21, 1979.
7. 森田勇, "橫置 Engine FF 車의 Engine Mount 와 振動騒音," 自動車 技術, Vol 36, No 12, 1982.
8. Yuchi Fujii, "Recent Developments in Vehicle Interior Noise Reduction", SAE Paper 820963, 1982.
9. J.P. Den Hartog, "Mechanical Vibration", McGraw-Hill, 1956.
10. K. Wakabayachi, "Rubber Damper 裝着 Crank 軸系의 Torsion 振動解析," 自動車 技術, Vol 35, No 12, 1981.
11. H. Itoh, "Honda Accord 와 振動騒音低減對策," 自動車 技術, Vol 32, No 12, 1978.
12. 金重熙, "自動車 室內騒音 低減技術," 大韓機械學會誌, Vol 25, No 4, 1985.
13. S.K. Jha, "Characteristics and Sources of Noise and Bibration and Their Control in Motor Cars", Journal of Sound and Vibration, 47(4), 1976.